

OpenModelica講習中級 Modelica.Fluidライブラリ解説

付録1. パイプの圧力損失と質量流量

付録2. PartialVessel の圧力計算式

2017年12月7日 田中 周(有限会社アマネ流研)

付録1. パイプの圧力損失と質量流量

(1)概要

(2)計算方法の場合分けするパラメータ

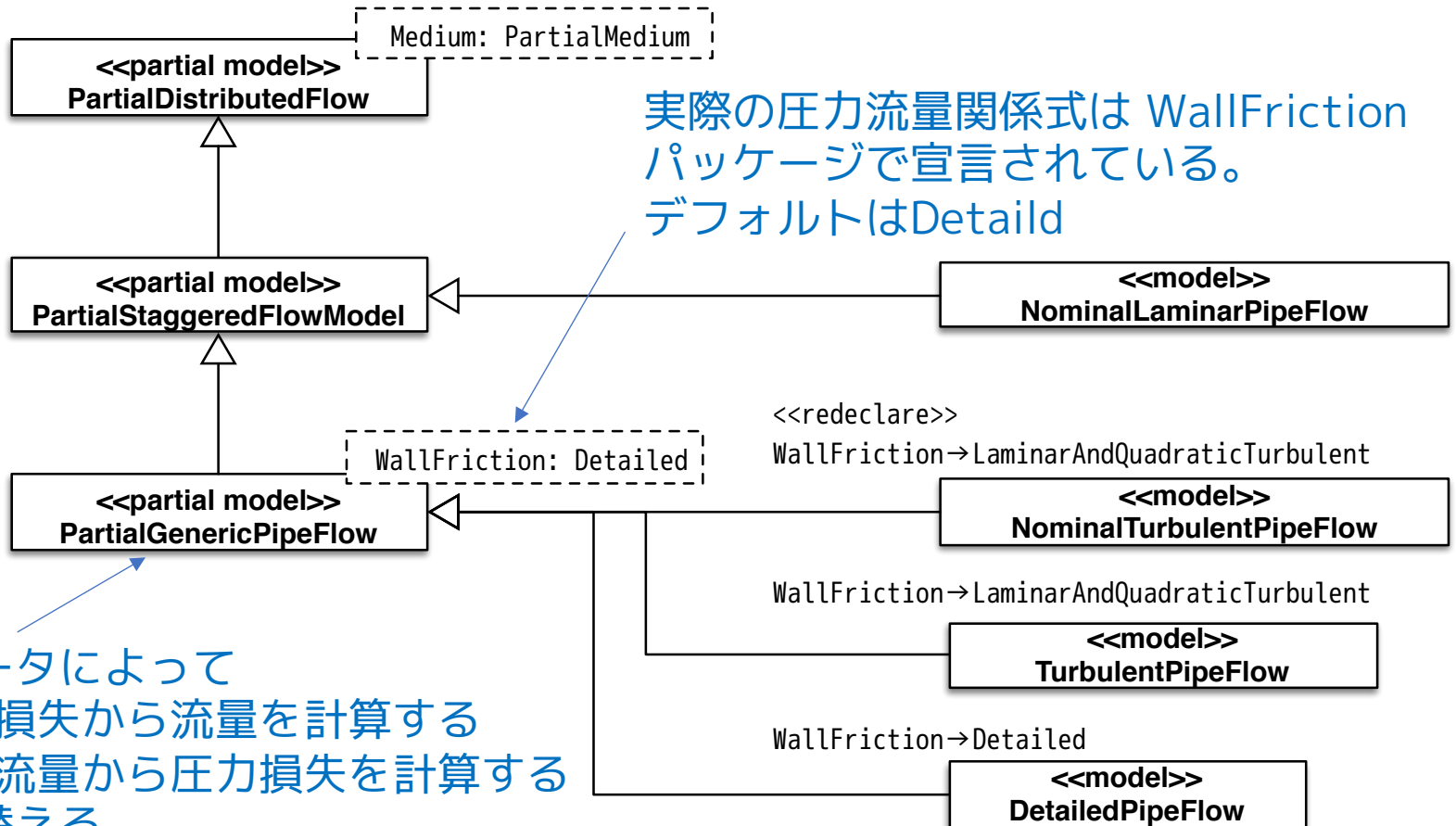
(3)ホモトピー法とホモトピーオペレータ

(4) WallFriction.Detailed

- massFlowRate_dp
- pressureLoss_m_flow

(1) 概要

パイプの圧力損失と質量流量の関係は、PartialGenericFlow を継承したモデルで計算される。



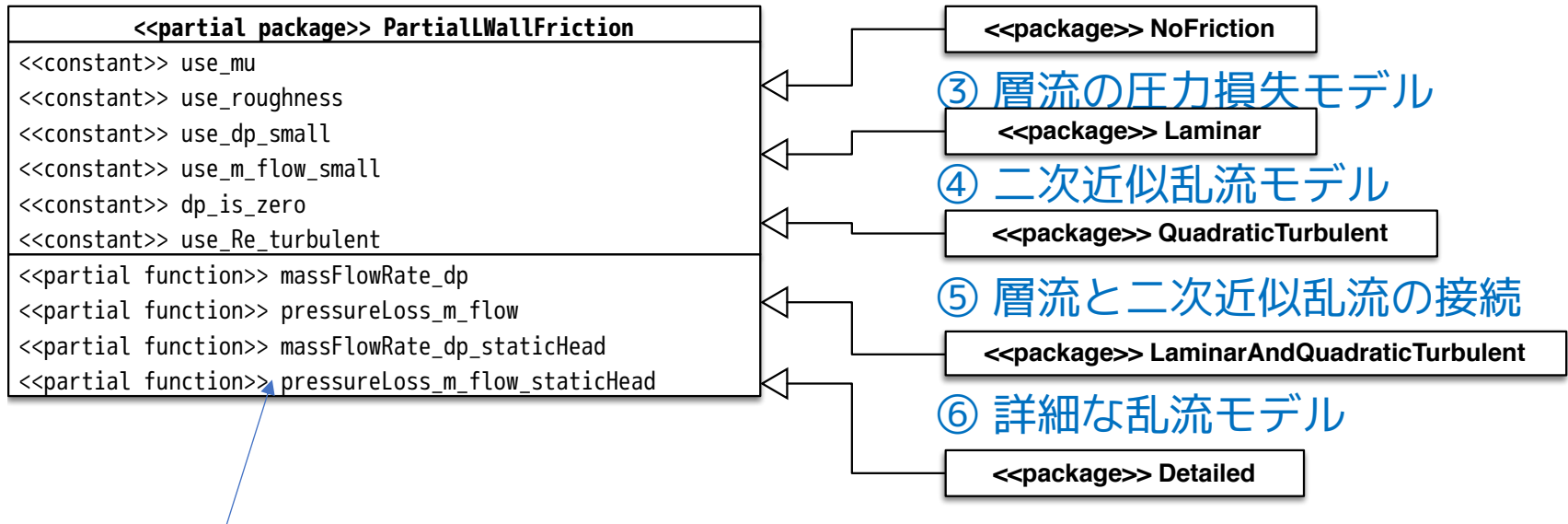
実際の圧力流量関係式は WallFriction パッケージで宣言されている。
デフォルトはDetailed

パラメータによって

- 圧力損失から流量を計算する
 - 質量流量から圧力損失を計算する
- を切り替える。

WallFriction パッケージ

① インターフェース



順流から逆流に変わるとき圧力が連続的に変化する場合

- massFlowRate_dp: 圧力損失から質量流量を計算する
- pressureLoss_m_flow: 質量流量から圧力損失を計算する

不連続的に変化する場合やパイプ出入口に高低差がある場合

- massFlowRate_dp_staticHead: 圧力損失から質量流量を計算する
- pressureLoss_m_flow_staticHead: 質量流量から圧力損失を計算する

PartialGenericPipeFlow の質量流量または圧力損失の計算の部分

```
if continuousFlowReversal then
  // simple regularization
  if from_dp and not WallFriction.dp_is_zero then
    m_flows = homotopy(
      actual= WallFriction.massFlowRate_dp(
        dps_fg - {g*dheights[i]*rhos_act[i] for i in 1:n-1},
        rhos_act,
        rhos_act,
        mus_act,
        mus_act,
        pathLengths_internal,
        diameters,
        (crossAreas[1:n-1]+crossAreas[2:n])/2,
        (roughnesses[1:n-1]+roughnesses[2:n])/2,
        dp_small/(n-1),
        Res_turbulent_internal)*nParallel,
        simplified= m_flow_nominal/dp_nominal*(dps_fg - g*dheights*rho_nominal));
  else
    dps_fg = homotopy(
      actual= WallFriction.pressureLoss_m_flow(
        m_flows/nParallel,
        rhos_act,
        rhos_act,
        mus_act,
        mus_act,
        pathLengths_internal,
        diameters,
        (crossAreas[1:n-1]+crossAreas[2:n])/2,
        (roughnesses[1:n-1]+roughnesses[2:n])/2,
        m_flow_small/nParallel,
        Res_turbulent_internal) + {g*dheights[i]*rhos_act[i] for i in 1:n-1},
        simplified= dp_nominal/m_flow_nominal*m_flows + g*dheights*rho_nominal);
  end if;
```

(2) パラメータによる計算方法の場合分け

(3) ホモトピー法

```

else
// regularization for discontinuous flow reversal and static head
if from_dp and not WallFriction.dp_is_zero then
m_flows = homotopy(
  actual= WallFriction.massFlowRate_dp_staticHead(
    dps_fg,
    rhos[1:n-1],
    rhos[2:n],
    mus[1:n-1],
    mus[2:n],
    pathLengths_internal,
    diameters,
    g*dheights,
    (crossAreas[1:n-1]+crossAreas[2:n])/2,
    (roughnesses[1:n-1]+roughnesses[2:n])/2,
    dp_small/(n-1),
    Res_turbulent_internal)*nParallel,
    simplified= m_flow_nominal/dp_nominal*(dps_fg - g*dheights*rho_nominal));
else
dps_fg = homotopy(
  actual= WallFriction.pressureloss_m_flow_staticHead(
    m_flows/nParallel,
    rhos[1:n-1],
    rhos[2:n],
    mus[1:n-1],
    mus[2:n],
    pathLengths_internal,
    diameters,
    g*dheights,
    (crossAreas[1:n-1]+crossAreas[2:n])/2,
    (roughnesses[1:n-1]+roughnesses[2:n])/2,
    m_flow_small/nParallel,
    Res_turbulent_internal),
    simplified= dp_nominal/m_flow_nominal*m_flows + g*dheights*rho_nominal);
end if;
end if;

```

(2) 計算方法の場合分けのパラメータ

① from_dp

true なら圧力差から質量流量を計算する

false なら質量流量から圧力差を計算する

momentumDynamics によって切り替わる

PartialGenericPipeFlow の宣言部

```
parameter Boolean from_dp = momentumDynamics >= Types.Dynamics.SteadyStateInitial  
"= true, use m_flow = f(dp), otherwise dp = f(m_flow)" annotation( ...);
```

| momentumDynamics | from_dp | initial condition |
|--------------------|---------|---------------------|
| DynamicFreeInitial | false | |
| FixedInitial | false | m_flow_start |
| SteadyStateInitial | true | $d(m_flow)/dt = 0$ |
| SteadyState | true | |

② WallFriction.dp_is_zero

粘性圧力損失が存在しない場合 true

③ continuousFlowReversal

順流から逆流に変化するとき圧力が連続的に変化する場合 true

PartialGenericPipeFlow の宣言部

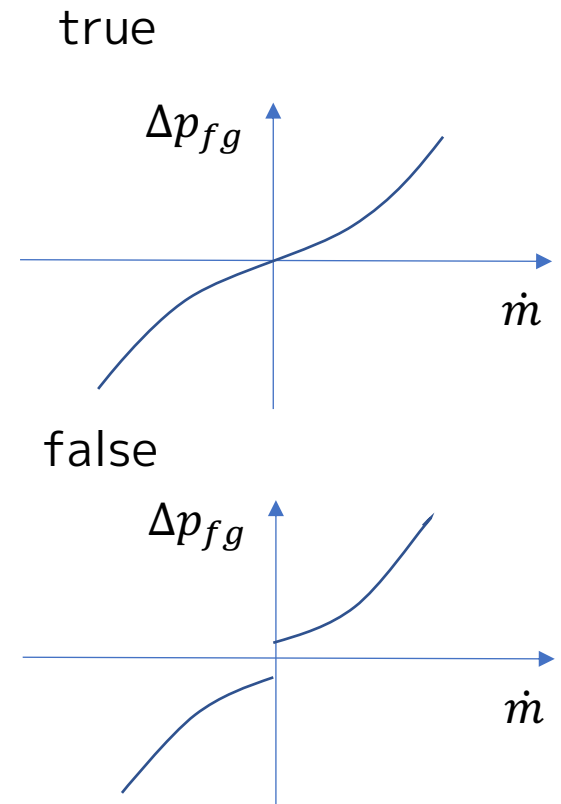
```
final parameter Boolean continuousFlowReversal=  
  (not useUpstreamScheme)  
  or constantPressureLossCoefficient  
  or not allowFlowReversal
```

より、

- 風上差分スキームで無い
- 圧力損失係数が一定
- 逆流を考慮しない

のいずれかの場合 true となる。

false の場合、特別な **regularization** が
必要となるので場合分けする。



(3) ホモトピー法とホモトピーオペレータ

概要

- 動的シミュレーションの初期化フェーズでは、大きな非線形方程式系を繰り返し計算で解く必要がある場合がある。
- ホモトピー法は、まず、簡単に収束するモデル (simplified model) を解き、このモデルから実際のモデル(actual model) までモデルを連続的に変形させて解を追跡することによって非線形方程式系を解く方法である。

ホモトピー変換 (homotopy transformation)

次のような式で λ を 0 から 1 まで連続的に変化させる。

$$\lambda * actual + (1 - \lambda) * simplified$$

Modelica のホモトピーオペレータ

ホモトピーオペレータは、非線形方程式に入力する変数に対して使用する。

ホモトピーオペレータ



```
m_flows = homotpy(actual, simplified)
```

(4) WallFriction.Detailed

ダルシー・ワイズバッハの式 (Darcy-Weisbach Equation)

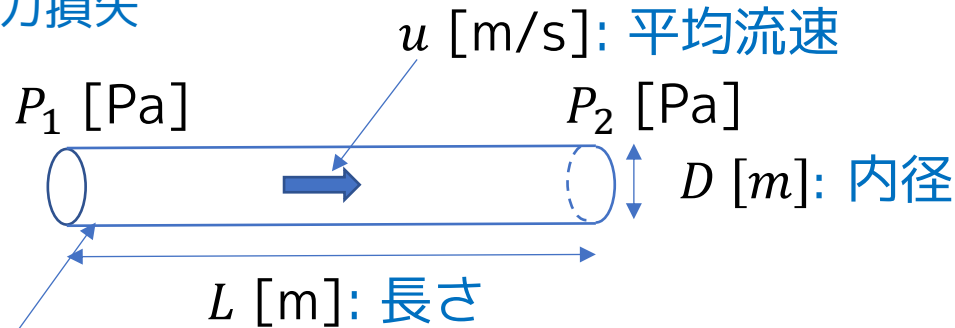
$$\Delta P = \lambda \frac{L}{D} \frac{\rho u^2}{2}$$

λ : 管摩擦係数(Darcy's friction factor)

ρ [kg/m³]: 密度

μ [Pa.s]: 粘性率

$\Delta P = P_1 - P_2$: 圧力損失



ε [m]: 表面粗さ(roughness)

$$\Delta = \frac{\varepsilon}{D} : \text{相対粗さ} \quad Re = \frac{\rho u D}{\mu} : \text{レイノルズ数}$$

λ : 管摩擦係数(Darcy's friction factor)

$Re < Re_1$ 層流

ハーゲン・ポアズイユ流
(Hagen-Poiseuille flow)

$$\lambda = \frac{64}{Re} \quad u = \frac{\Delta P r^2}{L 8\mu}$$

$Re > Re_2$ 乱流

コールブルック・ホワイトの式
(Colebrook-White Equation)

$$\frac{1}{\sqrt{\lambda}} = -2 \log_{10} \left(\frac{2.51}{Re\sqrt{\lambda}} + \frac{\varepsilon/D}{3.7} \right) = -2 \log_{10} \left(\frac{2.51}{Re\sqrt{\lambda}} + 0.27\Delta \right)$$

$Re_1 < Re < Re_2$ 乱流と層流の遷移領域の範囲

$$Re_1 = 745 \exp \left(\text{if } \Delta < 0.0065 \text{ then } 1 \text{ else } \frac{0.0065}{\Delta} \right)$$

[Samoilenko 1968; Idelchik 1994, p. 81, sect. 2.1.21]

$$Re_2 = Re_{turbulent} = 4000$$

$\lambda_2 \equiv \lambda Re^2$ の導入

層流の場合

$$\lambda = \frac{64}{Re} \Leftrightarrow Re = \frac{\lambda_2}{64} \quad \text{または} \quad \lambda_2 = 64 Re$$

$Re \rightarrow 0$ で λ は発散するが λ_2 は発散しない。

乱流の場合

$$\frac{1}{\sqrt{\lambda}} = -2 \log_{10} \left(\frac{2.51}{Re \sqrt{\lambda}} + 0.27 \Delta \right) \Leftrightarrow Re = -2 \sqrt{\lambda_2} \log_{10} \left(\frac{2.51}{\sqrt{\lambda_2}} + 0.27 \Delta \right)$$

コールブルック・ホワイトの式が陰関数でなくなる。

圧力と λ_2 の関係

$$\Delta P = \lambda \frac{L \rho u^2}{D} \frac{1}{2}, \quad Re = \frac{\rho u D}{\mu} \Leftrightarrow \lambda_2 = |\Delta p| \frac{2D^3 \rho}{L \mu^2} \quad \text{または} \quad \Delta p = \pm \frac{L \mu^2}{2D^3 \rho} \lambda_2$$

質量流量とレイノルズ数の関係

$$Re = \frac{\rho u D}{\mu}, \quad \dot{m} = \rho u A \quad \Leftrightarrow \dot{m} = \frac{\mu A}{D} Re \quad \text{または} \quad Re = \frac{D}{\mu A} |\dot{m}|$$

massFlowRate_dp 圧力差から質量流量を求める

$$\textcircled{1} \lambda_2 = |\Delta p| \frac{2D^3 \rho}{L\mu^2}$$

$$\textcircled{2} Re = \frac{\lambda_2}{64} \quad \text{まず、層流を仮定してレイノルズ数を求める。}$$

$Re > Re_1$ なら

$$Re = -2\sqrt{\lambda_2} \log_{10} \left(\frac{2.51}{\sqrt{\lambda_2}} + 0.27\Delta \right) \quad \text{層流の範囲外なら乱流を
仮定してレイノルズ数を求める。}$$

$Re < Re_2$ なら 遷移領域で、補間関数でレイノルズ数を求める。

$$Re = \text{interplateRegion2}(Re, Re_1, Re_2, \Delta, \lambda_2)$$

$$\textcircled{3} \dot{m} = \pm \frac{\mu A}{D} Re \quad \text{レイノルズ数から質量流量を計算する。
符号は}\Delta p\text{に合わせる。}$$

pressureLoss_m_flow 質量流量から圧力差を求める

$$\textcircled{1} Re = \frac{D}{\mu A} |\dot{m}|$$

$$\textcircled{2} Re \leq Re_1 \text{ なら} \\ \lambda_2 = 64 Re$$

$$Re \geq Re_2 \text{ なら}$$

$$\lambda_2 = 0.25 \left(\frac{Re}{\log \left\{ \frac{\Delta}{3.7} + \frac{5.74}{Re^{0.9}} \right\}} \right)^2$$

$$Re_1 < Re < Re_2 \text{ なら 遷移領域の補間関数}$$

$$\lambda_2 = \text{interplateInRegion2}(Re, Re_1, Re_2, \Delta)$$

$$\textcircled{3} \Delta p = \pm \frac{L\mu^2}{2D^3\rho} \lambda_2$$

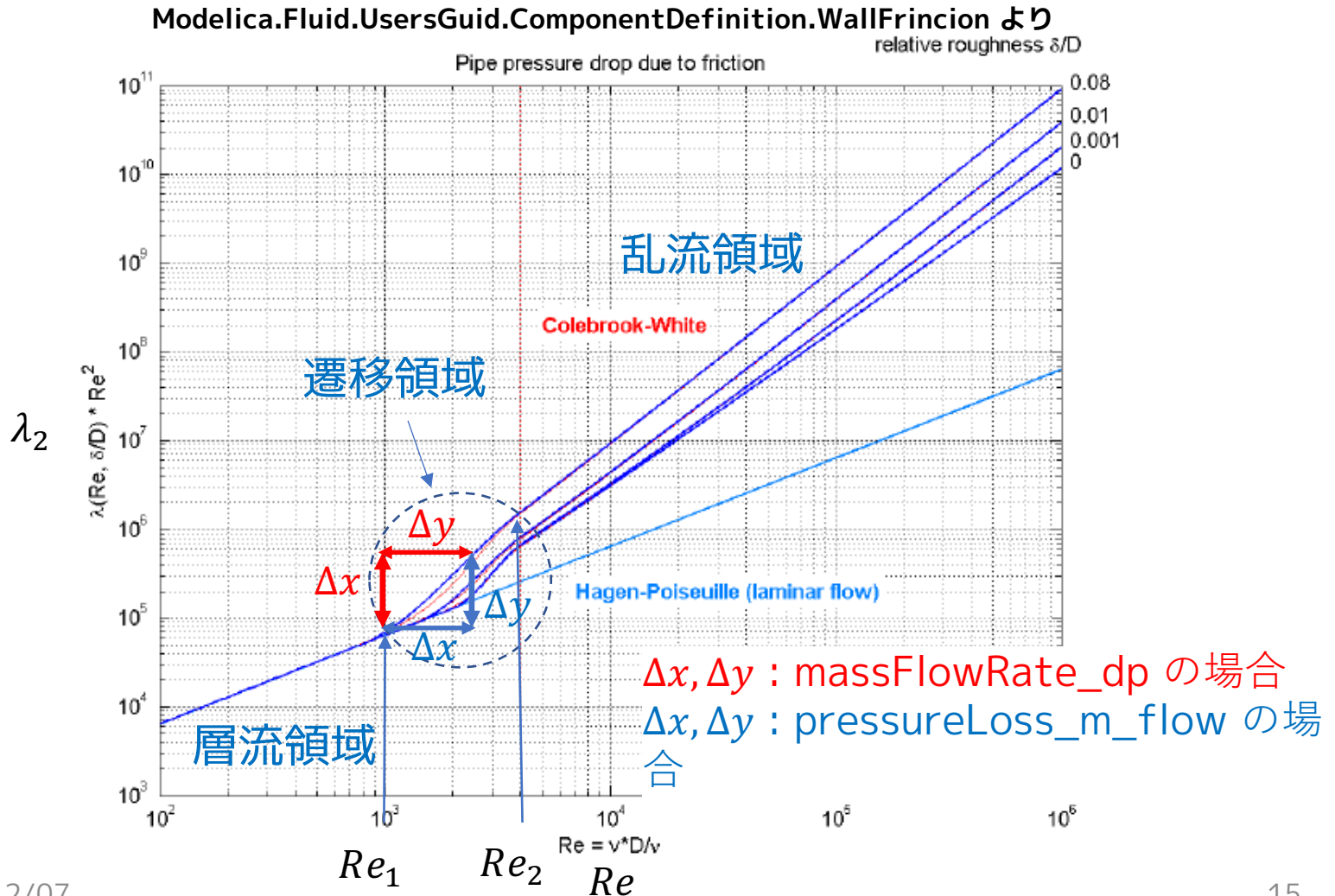
λ_2 から圧力差を計算する。
符号は \dot{m} に合わせる。

スワミー・ジャインの式(Swamee-Jain equation)
(コールブルック・ホワイトの式の近似式)

$$\lambda = 0.25 \left[\log \left\{ \frac{\Delta}{3.7} + \frac{5.74}{Re^{0.9}} \right\} \right]^{-2}$$

遷移領域の補間方法の考え方

対数グラフ上の距離 Δx , Δy を用い、 Δy を Δx の3次多項式で近似し、 Re_1 と Re_2 で、それぞれ層流領域の曲線と乱流領域の曲線に、1階微分まで連続になるようにつなぐ。



付録 2 . PartialLumpedVesselの圧力計算式

- (1) 一般的な圧力損失係数と圧力流量関係式
- (2) 液位がポートの高さと近い場合の補正 penetration の効果
- (3) 流量が小さい場合の regularization (流れの適正化)
- (4) ホモトピー法による非線形方程式の計算

(1) 一般的な圧力損失係数と圧力流量関係式

流入

$$p_{in} + \frac{\dot{m}^2}{2\rho_{in}A_{in}^2} - \zeta_{in} \cdot \frac{\dot{m}^2}{2\rho_{in}A_{in}^2} = p_{vessel} + \frac{\dot{m}^2}{2\rho_{vessel}A_{vessel}^2}$$

静圧 動圧 圧力損失 静圧 動圧

$$\Rightarrow p_{in} = p_{vessel} + \left(\zeta_{in} - 1 + \frac{A_{in}^2}{A_{vessel}^2} \right) \frac{1}{2\rho_{in}A_{in}^2} \cdot \dot{m}^2$$

流出

$$p_{vessel} + \frac{\dot{m}^2}{2\rho_{vessel}A_{vessel}^2} - \zeta_{out} \cdot \frac{\dot{m}^2}{2\rho_{out}A_{out}^2} = p_{out} + \frac{\dot{m}^2}{2\rho_{out}A_{out}^2}$$

静圧 動圧 圧力損失 静圧 動圧

$$\Rightarrow p_{out} = p_{vessel} - \left(\zeta_{out} + 1 - \frac{A_{out}^2}{A_{vessel}^2} \right) \frac{1}{2\rho_{vessel}A_{out}^2} \dot{m}^2$$

動圧 $\frac{1}{2}\rho u^2 = \frac{(\rho u A)^2}{2\rho A^2} = \frac{\dot{m}^2}{2\rho A^2}$ (単位体積あたりの運動エネルギー)

(2)液位がポートの高さに近い場合の補正

容器へ流入する時の ($\dot{m}_{port} > \dot{m}_{turbulent}$) のポートの静圧

$$p_{in} = p_{vessel_i} + \underbrace{\frac{1}{2A_i^2} \left(\zeta_{in_i} - 1 + \frac{A_i^2}{A_{vessel}^2} \right) \frac{1}{\rho_{in_i}}}_{k_1} \text{penetration}_i \cdot \dot{m}_i^2$$

容器から流出する時の ($\dot{m}_{port} < -\dot{m}_{turbulent}$) のポートの静圧

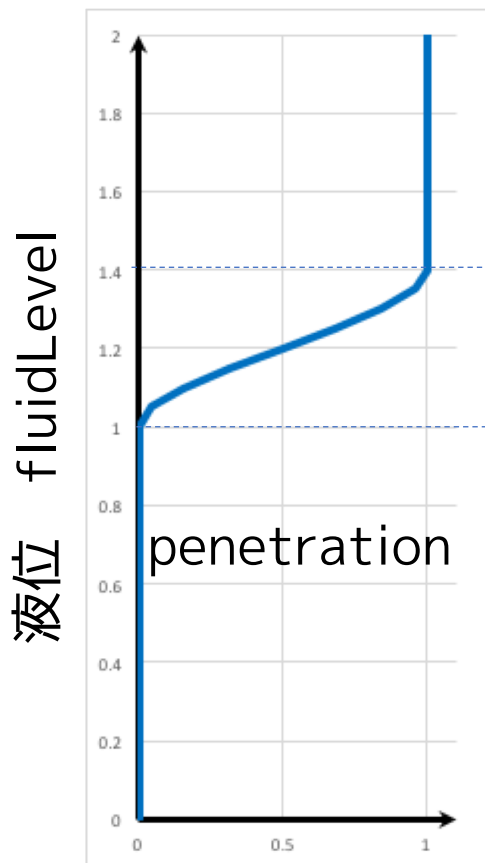
$$p_{out} = p_{vessel_i} - \underbrace{\frac{1}{2A_i^2} \left(\zeta_{out_i} + 1 - \frac{A_i^2}{A_{vessel}^2} \right) \frac{1}{\rho_{vessel}} \frac{1}{\text{penetration}_i}}_{k_2} \cdot \dot{m}_i^2$$

液位がポート高さ+0.2D以下になると、 $\text{penetration}_i < 1$ となる。
流入時の圧力損失が小さくなり、流出時の圧力損失が大きくなる。

penetration の計算式

$$penetration_i = \mathbf{regStep}(fluidLevel - height_i - 0.1D_i, 1, 1 \times 10^{-3}, 0.1D_i)$$

```
ports_penetration[i]  
= Utilities.regStep(fluidLevel - portsData_height[i] - 0.1*portsData_diameter[i],  
1, 1e-3, 0.1*portsData_diameter[i]);
```



penetration=1.0

ポート高さ+0.2D

ポート高さ

penetration=0.001

use_portsData=false のとき $penetration_i = 1$

Modelica.Fluid.Utilities.regStep

ステップ関数を連続で微分可能な曲線で近似する関数

$$y = \begin{cases} y1, & x > 0 \\ y2, & x \leq 0 \end{cases} \quad \Rightarrow \quad y = \begin{cases} y1, & x > x_{small} \\ y2, & x < -x_{small} \\ f(y1, y2) & -x_{small} \leq x \leq x_{small} \end{cases}$$

$-x_{small} < x < x_{small}$ の領域は、 $y1$ から $y2$ に変化する2次多項式 $f(x)$ で近似する。

```
y := smooth(1, if x > x_small then y1 else
             if x < -x_small then y2 else
             if x_small > 0 then
               (x/x_small)*((x/x_small)^2 - 3)*(y2-y1)/4 + (y1+y2)/2
             else
               (y1+y2)/2);
```

(3) 流量が小さい場合の regularization (流れの適正化)

$$p_{port} = p_{vessel_i} + \frac{1}{2A_i} \text{regSquare2}(\dot{m}, \dot{m}_{turbulent}, k_1, k_2)$$

p_{in} と p_{out} を $|\dot{m}_i| < \dot{m}_{turbulent_i}$ のときに滑らかにつなぐ

Modelica.Fluid.Utilities.regSquare2

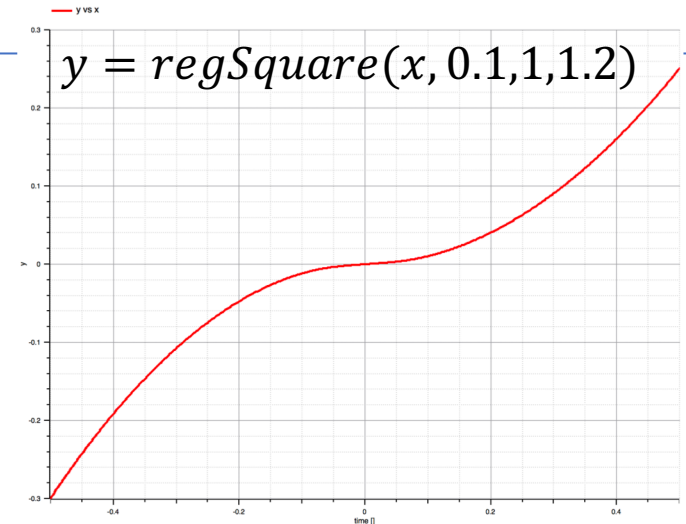
$$y = \text{regSquare}(x, x_{small}, k_1, k_2, use_{yd0}, yd0)$$

不連続な因数を持つ非対称な正方 (自乗)

$$y = \begin{cases} k_1 x^2, & x \geq 0, k_1 > 0 \\ -k_2 x^2, & x < 0, k_2 > 0 \end{cases}$$

を $-x_{small} \leq x \leq x_{small}$ で滑らかに繋ぐ。

- $-x_{small} \leq x \leq 0$ と $0 \leq x \leq x_{small}$ を、それぞれ別々の3次多項式で近似する。
- $x = 0$ で微分がゼロにならない。(逆数が無限大にならない。)
- 全領域で一階微分が連続になる。
- $use_{yd0} = \text{false}$ (デフォルト) なら2つ3次多項式の二階微分が $x = 0$ で一致する。
- $use_{yd0} = \text{true}$ なら、 $x = 0$ における一階微分 $yd0$ を引数で指定する。



(4) ホモトピー法による非線形方程式の計算

流量と圧力損失の関係が非線形となるのでホモトピーオペレータを使用する。

actual model

$$p_{port} = p_{vessel} + \frac{1}{2A^2} \text{regSquire2}(\dot{m}, \dot{m}_{turbulent}, k_1, k_2)$$

simplified model

$$p_{port} = p_{vessel}$$

homotopy model

$$p_{port} = \text{homotpy} \left(p_{vessel} + \frac{1}{2A^2} \text{regSquire2}(\dot{m}, \dot{m}_{turbulent}, k_1, k_2), p_{vessel} \right)$$

ホモトピーオペレータ



PartialVessel の圧力計算式

```
// fluid flow through ports
regularFlow[i] = fluidLevel >= portsData_height[i];
inFlow[i]      = not regularFlow[i] and (s[i] > 0 or portsData_height[i] >= fluidLevel_max);
if regularFlow[i] then
  // regular operation: fluidLevel is above ports[i]
  // Note: >= covers default values of zero as well
  if use_portsData then
    /* Without regularization
       ports[i].p = vessel_ps_static[i] + 0.5*ports[i].m_flow^2/portAreas[i]^2
       * noEvent(if ports[i].m_flow>0 then zeta_in[i]/portInDensities[i] else -zeta_out[i]/medium.d);
    */

    ports[i].p = homotopy(vessel_ps_static[i] + (0.5/portAreas[i]^2*Utilities.regSquare2(ports[i].m_flow, m_flow_turbulent[i],
    (portsData_zeta_in[i] - 1 + portAreas[i]^2/vesselArea^2)/portInDensities[i]*ports_penetration[i],
    (portsData_zeta_out[i] + 1 - portAreas[i]^2/vesselArea^2)/medium.d/ports_penetration[i])),
    vessel_ps_static[i]);

    /*
    k1
    k2
    // alternative formulation m_flow=f(dp); not allowing the ideal portsData_zeta_in[i]=1 though
    ports[i].m_flow = smooth(2, portAreas[i]*Utilities.regRoot2(ports[i].p - vessel_ps_static[i], dp_small,
    2*portInDensities[i]/portsData_zeta_in[i],
    2*medium.d/portsData_zeta_out[i]));

    */
  else
    ports[i].p = vessel_ps_static[i];
  end if;
s[i] = fluidLevel - portsData_height[i];
```

ホモトピーオペレータ **regularization**

penetration

- The purpose of this document is introducing Media and Fluid Libraries in the Modelica Standard Library (MSL). This document uses libraries, software, figures, and documents included in MSL and those modifications. Licenses and copyrights of those are written in next page.
- Copyright and License of this document are written in the last page.

Modelica Standard Library License

<https://github.com/modelica/ModelicaStandardLibrary/blob/master/LICENSE>

BSD 3-Clause License

Copyright (c) 1998-2018, ABB, Austrian Institute of Technology, T. Bödrich, DLR, Dassault Systèmes AB, ESI ITI, Fraunhofer, A. Haumer, C. Kral, Modelon, TU Hamburg-Harburg, Politecnico di Milano, and XRG Simulation
All rights reserved.

Redistribution and use in source and binary forms, with or without modification, are permitted provided that the following conditions are met:

- * Redistributions of source code must retain the above copyright notice, this list of conditions and the following disclaimer.
- * Redistributions in binary form must reproduce the above copyright notice, this list of conditions and the following disclaimer in the documentation and/or other materials provided with the distribution.
- * Neither the name of the copyright holder nor the names of its contributors may be used to endorse or promote products derived from this software without specific prior written permission.

THIS SOFTWARE IS PROVIDED BY THE COPYRIGHT HOLDERS AND CONTRIBUTORS "AS IS" AND ANY EXPRESS OR IMPLIED WARRANTIES, INCLUDING, BUT NOT LIMITED TO, THE IMPLIED WARRANTIES OF MERCHANTABILITY AND FITNESS FOR A PARTICULAR PURPOSE ARE DISCLAIMED. IN NO EVENT SHALL THE COPYRIGHT HOLDER OR CONTRIBUTORS BE LIABLE FOR ANY DIRECT, INDIRECT, INCIDENTAL, SPECIAL, EXEMPLARY, OR CONSEQUENTIAL DAMAGES (INCLUDING, BUT NOT LIMITED TO, PROCUREMENT OF SUBSTITUTE GOODS OR SERVICES; LOSS OF USE, DATA, OR PROFITS; OR BUSINESS INTERRUPTION) HOWEVER CAUSED AND ON ANY THEORY OF LIABILITY, WHETHER IN CONTRACT, STRICT LIABILITY, OR TORT (INCLUDING NEGLIGENCE OR OTHERWISE) ARISING IN ANY WAY OUT OF THE USE OF THIS SOFTWARE, EVEN IF ADVISED OF THE POSSIBILITY OF SUCH DAMAGE.



Copyright © 2017 The Open CAE Society of Japan

This work is licensed under a Creative Commons Attribution-NonCommercial 4.0 International License.

<http://creativecommons.org/licenses/by-nc/4.0/>

